

# 電気双極子モーメントおよび 磁気双極子モーメント

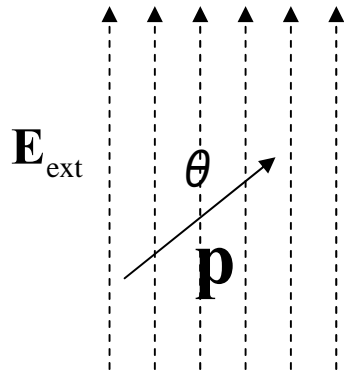
## 目次

1. 電気双極子モーメントとそれが作る電場
2. 外部電場の中の電気双極子モーメント
3. 磁気双極子モーメントとそれが作る磁場
4. 電気双極子間相互作用ポテンシャル
5. 外部磁場の中の磁気双極子モーメント
4. 電気双極子間相互作用ポテンシャル
7. 微小円形電流と磁気双極子の比較
8. 磁気双極子モーメントと角運動量
9. 原子の磁気双極子モーメントは電子のスピンで決まる



## 2. 外部電場の中の電気双極子モーメント

外部電場  $E_{\text{ext}}$  中の電気双極子に働くポテンシャル・エネルギー



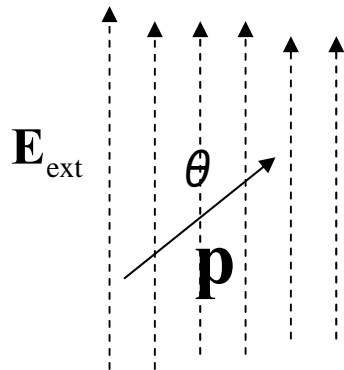
$$U = -\mathbf{p} \cdot \mathbf{E}_{\text{ext}}$$

$$= -pE_{\text{ext}} \cos \theta$$

Pベクトルと  $E_{\text{ext}}$  ベクトルが平行になろうとする。

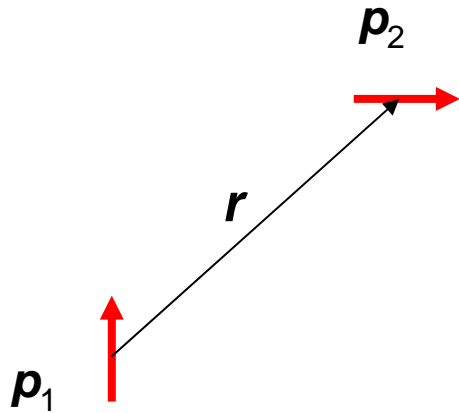
(導出法) 電荷(-q)が  $(x, \dots)$  にあり、(+q)が  $(x+dx, \dots)$  にあるとして、ポテンシャルをもとめ、 $(x+dx, \dots)$  におけるポテンシャルをテーラー展開し、第二項までで近似すれば 得られる。

空間的に均一な外部電場  $E_{\text{ext}}$  中の電気双極子に働くトルク(力のモーメント)



$$\mathbf{N} = \mathbf{p} \times \mathbf{E}_{\text{ext}}$$

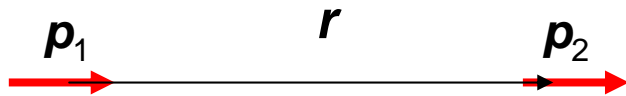
### 3. 電気双極子モーメント間の相互作用ポテンシャル



$$U_{12} = -\left(\frac{1}{4\pi\epsilon_0}\right)\left[\frac{3(\mathbf{p}_1 \cdot \mathbf{r})(\mathbf{p}_2 \cdot \mathbf{r})}{r^5} - \frac{(\mathbf{p}_1 \cdot \mathbf{p}_2)}{r^3}\right]$$

導出：一番目の電気双極子モーメントが位置rにおいて作る電場の下で、2番目の電気双極子モーメントが感じる電氣的ポテンシャルエネルギーを計算する。

類似：分子間のファン・デア・ワールスカ



左記の相互配置が最もエネルギーが低い。

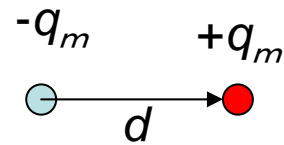
# 4. 磁気双極子モーメントとそれが作る磁場

「磁荷」 $q_m$ が距離 $r$ の地点につくる磁場(磁束密度)の大きさ $B$



$$B = \frac{1}{4\pi} \frac{q_m}{r^2}$$

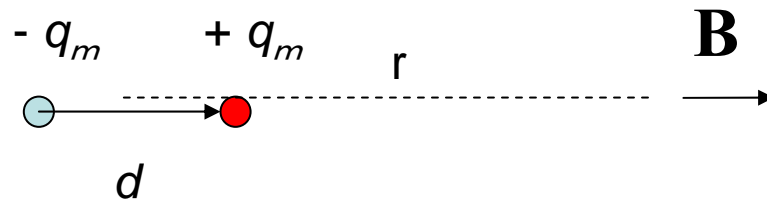
距離 $d$ だけ離れて存在している $-q_m, +q_m$ の正負の「磁荷」対を磁気双極子といい、 $\mu = q_m d / \mu_0$ を磁気双極子モーメントという。 $d$ に向きを持たせると磁気双極子モーメントは一般にはベクトルである。



$$\mu \equiv \frac{q_m d}{\mu_0}$$



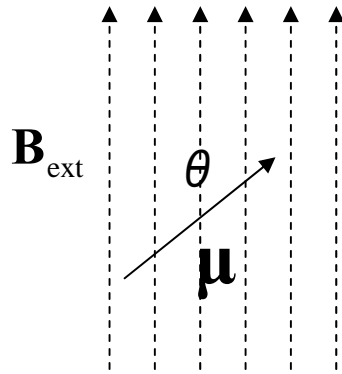
磁気双極子はその方向の十分遠方の距離 $r$ の地点につくる磁場の大きさ $B$



$$B = \frac{\mu_0}{2\pi} \frac{\mu}{r^3}, \quad [\mu_0: \text{真空の透磁率}]$$

## 5. 外部磁場の中の磁気双極子モーメント

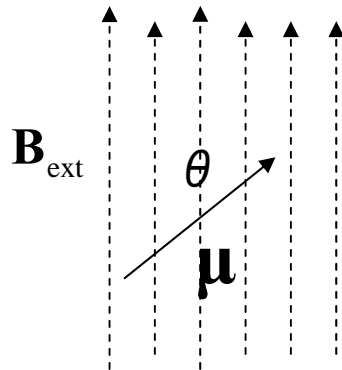
外部磁場  $B_{\text{ext}}$  中の磁気双極子に働くポテンシャル・エネルギー



$$U = -\boldsymbol{\mu} \cdot \mathbf{B}_{\text{ext}} \\ = -\mu B_{\text{ext}} \cos \theta$$

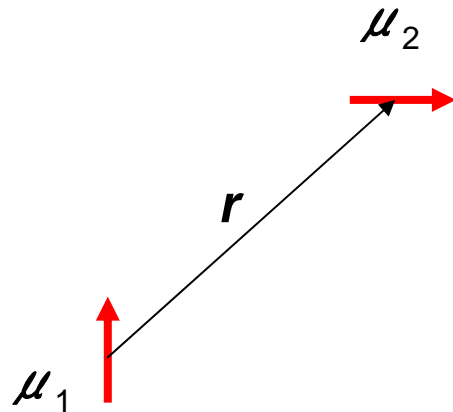
$\mu$  ベクトルと  $B_{\text{ext}}$  ベクトルが平行になろうとする。

空間的に均一な外部磁場  $B_{\text{ext}}$  中の磁気双極子に働くトルク (力のモーメント)



$$\mathbf{N} = \boldsymbol{\mu} \times \mathbf{B}_{\text{ext}}$$

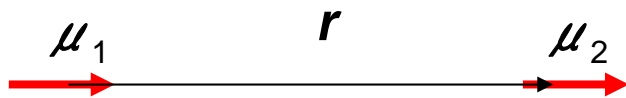
## 6. 磁気双極子モーメント間の相互作用ポテンシャル



$$U_{12} = -\left(\frac{\mu_0}{4\pi}\right) \left[ \frac{3(\boldsymbol{\mu}_1 \cdot \mathbf{r})(\boldsymbol{\mu}_2 \cdot \mathbf{r})}{r^5} - \frac{(\boldsymbol{\mu}_1 \cdot \boldsymbol{\mu}_2)}{r^3} \right]$$

導出：一番目の磁気双極子モーメントが位置rにおいて作る磁場の下で、2番目の磁気双極子モーメントが感じる磁氣的ポテンシャルエネルギーを計算する。

類似：核力におけるテンソル力成分

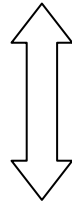


左記の相互配置が最もエネルギーが低い。

## 7. 微小円形電流と磁気双極子の比較

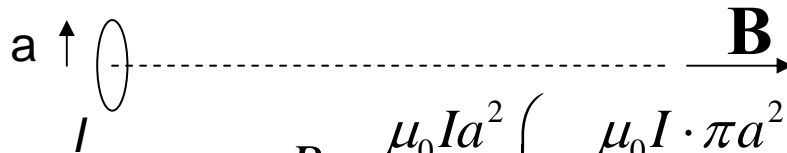
磁気双極子のつくる磁場

$$B = \frac{\mu_0}{2\pi} \frac{\mu}{r^3}$$

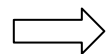


微小円形電流の作る磁場

半径 $a$ 、電流の強さ $I$ の円電流(分子磁石)が十分遠方の距離 $r$ の地点につくる磁場 $B$



$$B = \frac{\mu_0 I a^2}{2r^3} \left( = \frac{\mu_0 I \cdot \pi a^2}{2\pi r^3} = \frac{\mu_0 I \cdot S}{2\pi r^3} \right), \quad S \equiv \pi a^2, \mu_0: \text{真空の透磁率}$$



磁気双極子モーメント=(微小電流の大きさ) $\times$ (微小電流が囲む面積)

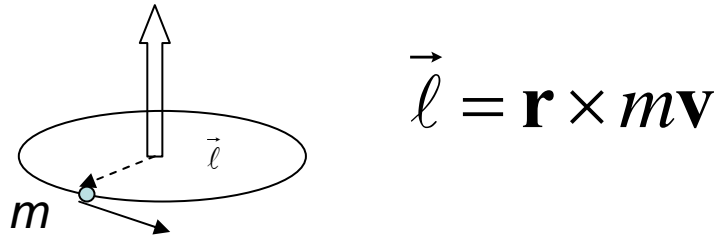
$$\mu = I \times S$$

等価



## 8. 磁気双極子モーメントと角運動量

質量 $m$ 、電荷 $q$ 、速さ $v$ の荷電粒子が半径 $r$ の円運動をする場合の軌道角運動量



荷電粒子の軌道運動による磁気双極子モーメント = [(電荷)/2x(質量)]x(軌道角運動量)

$$I = q/T = q(v)/(2\pi r), S = \pi r^2$$

$$\rightarrow \mu_{\text{orbit}} = \left( \frac{q}{2m} \right) \ell$$

電子の軌道運動による磁気双極子モーメント

$$\mu_{\text{orbit}} = \left( \frac{-e}{2m_e} \right) \ell, \quad \text{ベクトル表現} \vec{\mu}_{\text{orbit}} = \left( \frac{-e}{2m_e} \right) \vec{\ell}$$

参考: 量子力学においては、スピン角運動量 $s$ に起因する磁気双極子モーメントも定義できる。

## 9. 原子の磁気双極子モーメントは電子のスピンで決まる

$$\vec{\mu}_e = \left( \frac{-e}{2m_e} \right) \vec{\ell}_e + g_e \left( \frac{-e}{2m_e} \right) \vec{s}_e; g_e = (\text{電子の } g \text{ 因子})$$

$$\vec{\mu}_p = \left( \frac{-e}{2m_p} \right) \vec{\ell}_p + g_p \left( \frac{-e}{2m_p} \right) \vec{s}_p; g_p = (\text{陽子の } g \text{ 因子})$$

$$\rightarrow |\vec{\mu}_e| \gg |\vec{\mu}_p|$$

$$g_e = 2.0023.$$

$g_e \neq 1$ であることは古典論では理解できない謎であった。

$g_e$ の値の2.00からのずれ（電子の異常磁気モーメント）

は量子電磁力学(1940年代)により解明された！

陽子(p)の質量は電子(e)の1840倍

多くの材料では、電子の軌道運動による磁気的効果は相互に相殺し、正味ゼロか非常に小さくなる。

$$\vec{\mu} \cong \vec{\mu}_e \cong g_e \left( \frac{-e}{2m_e} \right) \vec{s}_e$$

## 参考文献

中山正敏「電磁気学」、裳華房、1986年。1章、5章。

中山正敏「物質の電磁気学」、岩波書店、1996年。4章、5章。

V.D.バーガー、M. D.オルソン「電磁気学I」、培風館、1991年。特に、4、7章。